

1. Использование модели невязкого газа для оценки взаимодействия потоков за срезом деформированного соплового блока ограничен применимостью самой модели, которая справедлива лишь для тонких пограничных слоев.

2. Поперечное смещение лопаток, как правило, приводит к уменьшению коэффициента усиления и выводимой мощности излучения за сопловой решеткой. Отмеченное уменьшение не превышает средней величины сдвига  $|A|$ , отнесенной к размеру минимального сечения недеформированного сопла  $2h_*$ , если  $\delta = |A|/2h_* \leq 30\%$ .

3. Неравномерность потока на выходе сопла усиливает влияние пограничных слоев, сходящихся с сопловых лопаток, на инверсные характеристики газа. В области умеренных и высоких давлений торможения (в данном случае  $p_0 \leq 1$  МПа) разбухание пристеночных слоев и вязких следов приводит к полной дезактивации среды на расстояниях, в  $\sim 10$  раз меньших тех, что обусловлены релаксационными процессами в модели невязкого газа. Для корректного описания инверсных характеристик потока в этих условиях необходимо использовать более сложную модель, учитывающую вязкие свойства среды.

#### ЛИТЕРАТУРА

1. Лосев С. А. Газодинамические лазеры.— М.: Наука, 1977.
2. Козлов Г. И., Ступицкий Е. А. ЖТФ, 1975, 45, 2, 359.
3. Солоухин Р. И., Фомин И. А. Докл. АН СССР, 1976, 228, 3, 596.
4. Левин В. А., Туник Ю. В. Изв. АН СССР. МЖГ, 1976, 1, 118.
5. Егоров Б. В., Комаров В. Н. ПМТФ, 1975, 2, 24.
6. Егоров Б. В., Комаров В. Н., Саягин Г. И. ПМТФ, 1976, 5, 13.
7. Горячев С. В., Новоселов А. Г., Полузотова И. Л. и др. // Газодинамика проточной части ГДЛ.— Новосибирск: ИТГМ СО АН СССР, 1987.
8. Борейшо А. С., Лавров А. В., Лебедев В. Ф. и др. ИФЖ, 1987, 52, 1, 90.
9. Британ А. Б., Левин В. А., Лосев С. А. и др. Квант. электроника, 1984, 8, 5, 1002.
10. Британ А. Б., Левин В. А., Старик А. М. и др. Квант. электроника, 1986, 13, 1, 86.
11. Смехов Г. Д., Фотиев В. А. ЖВММФ, 1978, 18, 5, 1283.
12. Туник Ю. В. // Неравновесные течения газа и оптимальные формы тел в сверхзвуковом потоке.— М.: Изд-во МГУ, 1978.
13. Шлихтинг Г. Теория пограничного слоя.— М.: Наука, 1969.
14. Верховский В. П. Численный расчет плоских сверхзвуковых сопел с изломом контура. Таблицы координат сопел на числа  $M = 3 \div 7$ . Тр. ЦАГИ.— 1975.— Вып. 1680.

Поступила в редакцию 25/IV 1988,  
после доработки — 13/III 1989

УДК 531.781

#### ИЗМЕРЕНИЕ ДАВЛЕНИЙ С ПОМОЩЬЮ МАГНИТНОГО КРЕШЕРА

B. F. Новиков, B. B. Насонов, A. B. Иванюк  
(Тюмень)

Крешеры, по степени пластической деформации которых судят о величине приложенных напряжений, имеют низкую точность, одноразовое применение и неоднозначность показаний в случае различных скоростей нарастания давления в ударной волне (УВ) [1]. Магнитоупругий крешер, изготовленный из соединений  $TbFe_2$ , обладает тем преимуществом, что испытывает только упругую (не пластическую) остаточную деформацию. Это существенно улучшает метрологические характеристики датчика [2]. Однако крешеры на основе соединений Tb—Fe имеют недостатки, которые снижают возможности их применения прежде всего из-за невысокой прочности сплава и ненадежности клеевого соединения тензодатчика и крешера.

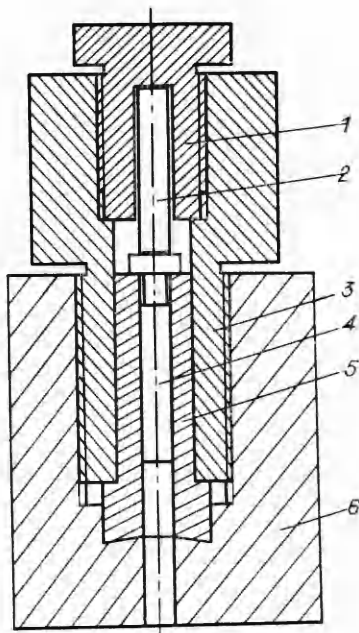


Рис. 1. Датчик ударных нагрузок с запоминанием.

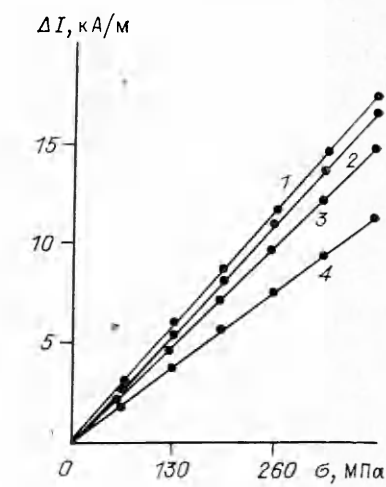


Рис. 2. Изменение остаточной намагниченности  $\Delta I$  крещеров после приложении однократных сжимающих напряжений  $\sigma$  для сплавов:  
1 — Fe — 0,6 C, Mn; 2 — Fe — 0,45 C; 3 — Fe — 0,3 C, Cr, Mn; 4 — Fe — 0,8 C.

В настоящей работе предложен способ считывания информации о величине действовавших давлений и магнитный крещер в значительной мере лишенный этих недостатков. На рис. 1 показана обойма 5 плунжерной пары, которая закрепляется в стенке камеры корпусом 3. Плунжер 4 передает давление на магнитный крещер 2, положение которого фиксируется гайкой 1. Обойма плунжерной пары, сам плунжер и корпус изготовлены из прочной немагнитной стали. Крещер изготавливается из сплавов, обладающих магнитоупругим гистерезисом, намагничивается до насыщения полем электромагнита ( $6 \cdot 10^5$  А/м) и в состоянии остаточной намагниченности помещается в датчик. В момент удара плунжера о крещер он размагничивается.

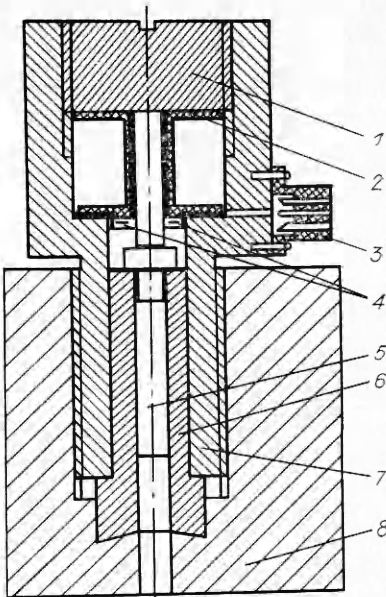
Как показали исследования, изменение остаточной намагниченности для выбранных сталей тем больше, чем больше величина силы, приложенной к материалу крещера. На рис. 2 приведены кривые изменения остаточной намагниченности крещеров, изготовленных из закаленных ( $810^{\circ}\text{C}$ ) и отпущенных при  $250^{\circ}\text{C}$  сплавов после квазистатического нагружения  $\sigma$ . Величина нагрузки определялась с погрешностью в 2 %. Видно, что в широком интервале  $\sigma$  наблюдается очень хорошая линейная зависимость между изменениями остаточной намагниченности  $\Delta I$  и величиной  $\sigma$ . Воспроизводимость результатов высокая. Точность, которая может быть достигнута, определяется точностью измерения  $\Delta I$ , которая составляет в нашем случае 3—5 % [3].

В данной работе величина  $\Delta I$  находилась с помощью микровеберметра дифференциальным методом. Крещеры (рабочий и эталонный) помещались в немагнитную трубку (раздельно), которая затем вдвигалась в катушки (с числом витков 100) так, что они оказывались посередине крещеров. Катушки включались встречно и присоединялись к микровеберметру Ф199. В момент выдвижения (или вдвигания крещеров из катушек) проводилось измерение.

Измерение существенно упрощается, если вблизи крещера поместить миниатюрные ( $1,5 \times 0,5$  мм) феррозонды [3, 4], включенные встречно так, что они измеряют магнитное поле крещера и слабо реагируют на внешние поля (рис. 3). В этом случае изменение намагниченности определяется феррозондовым магнитометром с погрешностью 5 % [4]. Намаг-

Рис. 3. Датчик ударных нагрузок с встроенной намагничивающей и измерительной системой.

1 — разъемы; 2 — гайка; 3 — полузонды феррозондового магнитометра; 4 — намагничивающая катушка; 5, 6 — плунжерная пара; 7 — корпус датчика; 8 — стенка камеры.



ничивание крещера осуществляется с помощью электромагнита. Однако в этом случае калибровка крещера и аппаратуры должна проводиться по давлению внутри камеры с помощью эталонного прибора. В частности, датчик с вынимаемым крещером (см. рис. 1) может служить таким эталоном, так как крещеры могут быть легко изготовлены в больших количествах, строго откалиброваны. Пока не удалось получить достоверные экспериментальные данные о динамических характеристиках магнитоупругого крещера. Однако известно [5], что время срабатывания механизма переключения магнитных доменов (время скачка Баркгаузена) составляет  $10^{-5}$ — $10^{-4}$  с. Это позволяет оценить время срабатывания магнитоупругого крещера в  $10^{-9}$ — $10^{-4}$  с.

Таким образом, в работе предложен новый вариант магнитоупругого крещера, позволяющего осуществлять бесконтактный съем информации. Материалы, использованные для его изготовления, гарантируют высокую надежность работы датчика, точность измерения и автономность работы.

#### ЛИТЕРАТУРА

1. Орлов Б. В. и др. Материальная часть и основы артиллерийских систем.— М., 1974.
2. А. с. 853434 СССР, МКИ G 01 L1/12. Материал крещера/ В. Ф. Новиков, Е. В. Долгих.— Опубл. 07.08.81, Бюл. № 29.
3. Киффер И. И. Испытания ферромагнитных материалов.— М.: Энергия, 1969.
4. Веденев М. А., Дрожжина В. И., Куликов В. А. Высокочувствительный магнитометр с феррозондовым индикатором для исследования магнитных свойств ферромагнитных пленок // Исследования в области теоретического и прикладного магнетизма.— Свердловск, 1967.
5. Рудак В. М. Процессы переключения в нелинейных кристаллах.— М.: Наука, 1986.

Поступила в редакцию 6/IV 1987,  
после доработки — 7/VII 1988

УДК 533.661.172

#### К ВОПРОСУ О МОДЕЛИРОВАНИИ ТЕЧЕНИЙ С ЭКЗОТЕРИЧЕСКИМИ РЕАКЦИЯМИ В УДАРНЫХ ТРУБАХ

А. Б. Британ, А. П. Зуев, А. Ю. Стариakovский  
(Долгопрудный)

Ударные трубы — достаточно простой и удобный инструмент для изучения физико-химических превращений в нагретых газах. Термодинамические параметры и глубина химических превращений в таких условиях легко варьируются заданием исходного состава газа и скорости ударной волны (УВ) [1].

Кинетика реакций обычно исследуется в условиях, когда экзотермика реакций несущественно влияет на газодинамику течения. Это до-